

УДК 621.385.2 → 621 376 232 2

## КРАТКИЕ СООБЩЕНИЯ И ПИСЬМА В РЕДАКЦИЮ

### ВЛИЯНИЕ СТРУКТУРЫ ИНЖЕКЦИОННО-ПРОЛЕТНОГО ДИОДА НА ЕГО ВЫСОКОЧАСТОТНЫЕ ХАРАКТЕРИСТИКИ

Г. И. Голант, Е. В. Горбунов, А. А. Попадын, Л. С. Тагер

Как было показано в предыдущей работе [1], улучшение энергетических характеристик инжекционно-пролетных диодов (ИПД) с инжекцией через  $p-n$ -переход путем повышения уровня легирования активной области ограничено возникновением ударной ионизации в пролетном участке.

В ряде случаев целесообразно перейти к ступенчатому профилю легирования, при котором уровень легирования повышается лишь вблизи инжеектирующего  $p-n$ -перехода (структура типа  $p^+ - n - i - p^+$ ). Теоретическому анализу таких ИПД посвящены работы [2-4], выводы которых носят несколько противоречивый характер. Так, в [2], на основе малосигнального анализа, отдается предпочтение структуре  $p^+ - n - p^+$ , тогда как, согласно приближенным расчетам, выполненным в [3,4], энергетические характеристики лучше у ступенчатых структур. Экспериментальные данные, опубликованные в [5], подтверждают вывод о возможности увеличения КПД и отдаваемой мощности при использовании  $p^+ - n - i - p^+$ -диодов. К тому же, что немаловажно, коэффициент шума возрастает всего на 1 dB [5], несогляя на сильную неравномерность распределения концентрации примеси в активной области. Поэтому вопрос об оптимальной структуре ИПД остается до настоящего времени открытым.

### Анализ высокочастотных характеристик кремниевого $p^+ - n - i - p^+$ ИПД

Рассматривался диод с профилем легирования, показанным на рис. 1а. Такой профиль был выбран как типичный для целого класса структур типов  $p^+ - n - \gamma - p^+$  и  $p^+ - n - \pi - p^+$ , имеющих сходные характеристики. Расчет высокочастотных параметров проводился по методике, описанной в [1].

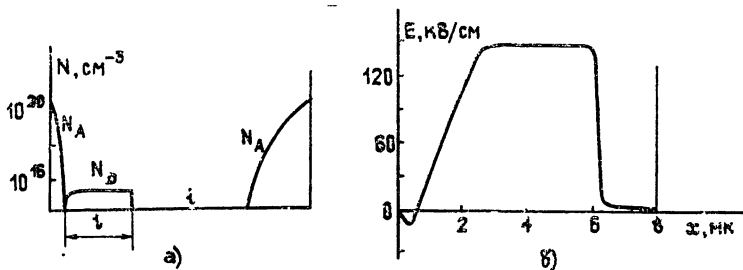


Рис. 1. Распределение концентрации примесей (а) и напряженности электрического поля в статическом режиме (б) в  $p^+ - n - i - p^+$  ИПД;  
 $N_A$ ,  $N_D$  — концентрации акцепторов и доноров.

Варьировалась концентрация доноров в  $n$ -области  $N_D$ , а также ее толщина, так что произведение  $N_D \cdot l$  оставалось равным  $10^{12} \text{ см}^{-2}$ . При этом максимальная напряженность статического электрического поля в активной области составляла  $E_{\max} \approx 150 \text{ kV/cm}$ . При таком поле дрейфовая скорость дырок близка к скорости насыщения, а ударная ионизация еще отсутствует. Меньшие значения  $E_{\max}$  ведут к снижению как отрицательного сопротивления, так и отдаваемой мощности, а при больших значениях падает КПД и резко увеличиваются шумы.

Для каждой диодной структуры и заданных значений плотности тока питания и

частоты отдаваемая мощность  $P$  и КПД  $\eta$  достигают максимальной величины при определенных значениях амплитуды высокочастотных колебаний. На рис. 2 максимальные  $\eta$  и  $P$  в том же режиме (рассчитанные на единицу площади поперечного сечения) представлены в зависимости от уровня легирования  $n$ -области. Отметим, что эти значения  $P$  очень близки к максимальным. В отличие от случая однородного легирования, рассмотренного в [1], кривые  $\eta_{\max}$  ( $N_D$ ) и  $P(N_D)$  имеют ярко выраженные максимумы. Такой характер кривых объясняется действием двух противоположных факторов. При увеличении  $N_D$  возрастает крутизна подъема электрического поля вблизи инжектирующего  $p-p$ -перехода (см. рис. 1б), что приводит, с одной стороны, к уменьшению пути, проходимого густоком носителей тока в области сравнительно слабого поля, где дрейфовая скорость еще невелика. Поэтому уменьшается максвелловское расплывание густоты, а следовательно, улучшаются энергетические характеристики диода. С другой стороны, густота попадает в сильное поле в более раннюю фазу высокочастотного поля; это увеличивает омические потери и ухудшает активные свойства диода.

Сравнение рис. 2 с рис. 4 из [1] показывает, что по КПД и отдаваемой мощности  $p^+ - n - i - p^+$  ИПД значительно превосходит диод с однородным легированием.

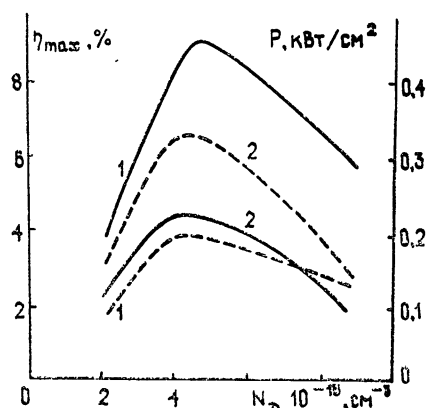


Рис. 2 Зависимости максимальных КПД и отдаваемой мощности при  $f = 10 \text{ ГГц}$  от уровня легирования  $n$ -области,  
сплошная кривая —  $\eta_{\max}$ , штриховая —  $P$ ;  
1 —  $j_0 = 50 \text{ A/cm}^2$ , 2 —  $j_0 = 150 \text{ A/cm}^2$ .

[1], зависимость активной проводимости (а также сопротивления) от амплитуды высокочастотного напряжения посредством немонотонный характер.

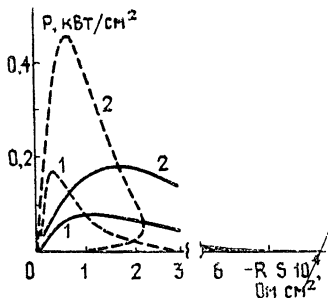


Рис. 3.

Рис. 3. Зависимости отдаваемой мощности от произведения активного сопротивления на площадь поперечного сечения диода; штриховая кривая —  $p^+ - n - i - p^+$ , сплошная —  $p^+ - n - p^+$ ;  
1 —  $j_0 = 50 \text{ A/cm}^2$ , 2 —  $j_0 = 150 \text{ A/cm}^2$ .

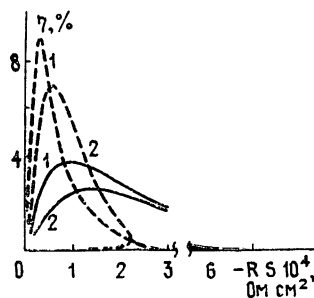


Рис. 4.

Рис. 4. Зависимости КПД от произведения активного сопротивления на площадь поперечного сечения диода; сплошная кривая —  $p^+ - n - p^+$ , штриховая —  $p^+ - n - i - p^+$ ;  
1 —  $j_0 = 50 \text{ A/cm}^2$ , 2 —  $j_0 = 150 \text{ A/cm}^2$ .

Как видно из рис. 3, 4, максимальные значения КПД и полезной мощности ИПД со ступенчатым профилем легирования в 2—2,5 раза больше, чем у ИПД с однородным легированием. Однако эти значения достигаются при значительно меньших величинах активного сопротивления. Поэтому преимущества  $p^+ - n - p^+$ -диодов могут быть реализованы при достаточно низких омических потерях в диодной структуре и внешней цепи.

Если допустить, что основные потери связаны с омическим сопротивлением  $R_s$  пассивного участка структуры, и учесть, что для эффективной работы диода в схеме необходимо  $R_s < 1/2|R|$ , то, пользуясь рис. 3, 4, можно оценить значение произведения толщины этого участка  $h$  на его удельное сопротивление  $\rho$ .

В диапазоне  $50 < j_0 < 150 \text{ A/cm}^2$   $\rho \cdot h$  не должно превышать  $1,5\text{--}3,0 \text{ Oм} \cdot \text{см}^2$ , при  $\rho \approx 10^{-2} \text{ Oм} \cdot \text{см}$  это соответствует  $h < 15 \div 30 \text{ мк}$

## ЛИТЕРАТУРА

1. Е. И. Голант, А. А. Попадин, А. С. Тагер, Изв. вузов — Радиофизика, 23, № 2, 244 (1980).
2. E. P. Eeg Nisse, Appl. Phys. Lett., 20, 301 (1972).
3. H. W. Ruegg, IEEE Trans., ED-15, 577 (1968).
4. K. Kawakada, Y. Mizushima, Jap. J. Appl. Phys., 12, 423 (1973).
5. G. Björkman, C. P. Snapp, Electr. Lett., 8, 501 (1972).

Поступила в редакцию  
7 мая 1979 г.

УДК 538.56 : 519.25

## О «БЛИЗОСТИ» СТАТИСТИЧЕСКИХ ХАРАКТЕРИСТИК ДВУХ ОДНОМЕРНЫХ МАРКОВСКИХ ПРОЦЕССОВ

*A. L. Вировлянский, A. H. Малахов*

В данной работе рассматривается связь статистических характеристик двух одномерных марковских процессов  $x(t)$  и  $\tilde{x}(t)$ , задаваемых соответственно стохастическими уравнениями

$$\dot{x} + a(x) = \xi(t)$$

и

$$\dot{\tilde{x}} + \tilde{a}(\tilde{x}) = \tilde{\xi}(t),$$

где  $\xi(t)$  — гауссов шум с нулевым средним и функцией корреляции

$$\langle \xi(t) \xi(t') \rangle = D \delta(t - t'),$$

$a(x)$  и  $\tilde{a}(x)$  — нелинейные функции. Интуитивно ясно, что если функции  $a(x)$  и  $\tilde{a}(x)$  мало отличаются друг от друга (количественный критерий приведен ниже), то статистические характеристики  $x(t)$  и  $\tilde{x}(t)$  тоже должны быть близки. Мы ставим себе задачу получить формулу для оценки этой «близости».

Отправным пунктом наших рассуждений является тот факт, что плотность вероятности переходов процессов  $x(t)$  и  $\tilde{x}(t)$  можно записать в виде континуального интеграла [<sup>1-4</sup>]. Здесь мы воспользуемся следующей формулой:

$$W(x, T | x_0, 0) = \exp \left\{ -\frac{1}{2D} [A(x) - A(x_0)] \right\} \int_{x_0}^x \exp \left\{ -\frac{1}{2D} \times \right. \\ \times \left. \int_0^T [\dot{x}^2 + a^2(x)] dt + \frac{1}{2} \int_0^T a'(x) dt \right\} Dx(t), \quad (1)$$